

การประชุมวิชาการเครือข่ายวิศวกรรมเครื่องกลแห่งประเทศไทยครั้งที่ 14
2-3 พฤศจิกายน 2543 โรงแรม โนโวเทล เชียงใหม่

การควบคุมระดับเสียงรบกวนมิติเดียวแบบแอดคทีฟ: การศึกษาเชิงทดลอง¹

One Dimensional Active Noise Control: Experimental Studies

สว่างทิตย์ ศรีกิจสุวรรณ² และ สุวัฒน์ กุลวนพรีดา³
ศูนย์วิจัยและพัฒนาระบบอัจฉริยะ สถาบันเทคโนโลยีพระจอมเกล้าพระนครเหนือ
กรุงเทพฯ 10800 โทร 02-9132500 โทรสาร 02-5870026

Sawangtit Srekitsuwan and Suwat Kuntanapreeda

R&D Center for Intelligent Systems , King Mongkut's Institute of Technology North Bangkok
Bangkok 10800, Thailand, Tel: 02-9132500, Fax: 02-5870026

บทคัดย่อ

บทความนี้เสนอผลการศึกษาเชิงทดลองของการควบคุมเพื่อลดระดับเสียงรบกวนมิติเดียวแบบแอดคทีฟ ชุดทดลองที่สร้างขึ้นในงานวิจัยนี้ประกอบด้วย 4 ส่วนหลัก คือ ชุดท่อลำโพงคู่หนึ่งพร้อมตัวขยายกำลังแบบสเตริโอ ไมโครโฟนสองตัว และชุดประมวลผล DSP โครงสร้างของการควบคุมเป็นแบบการควบคุมป้อนไปข้างหน้าโดยใช้ตัวควบคุมแบบ FIR ที่ปรับตัวเองได้ บทความนี้ได้ศึกษาถูกวิธีการปรับตัวเองสองแบบ คือ แบบ LMS และ Leaky-LMS จากการศึกษาพบว่าตัวควบคุมสามารถลดระดับเสียงรบกวนได้อย่างน่าพอใจ และถูกวิธีการปรับตัวเองแบบ Leaky-LMS สามารถป้องกันการเกิด overflow เนื่องจากผลของ infinite precision ของคอมพิวเตอร์ได้ดี โดยส่งผลให้ระดับการลดของเสียงรบกวนน้อยกว่าแบบ LMS เพียงเล็กน้อย

Abstract

This paper presents the experimental studies of one-dimension active noise control. The apparatus that is constructed for this research contains four main parts: a duct set, a pair of loudspeakers with a stereo power amplifier, two microphones and a DSP processing unit.

The control structure used here is feedforward control using an adaptive FIR controller. This paper presents the uses of two different adaptive algorithms named LMS and Leaky-LMS. The experiment results show that the controllers satisfactorily reduce the level of the noise as desired. The Leaky-LMS is able to prevent the overflow problem due to the finite precision effect of the computer while insignificantly decreasing attenuation of noise compared to the LMS.

1.บทนำ

มลพิษทางเสียงในโรงงานอุตสาหกรรม โดยเฉพาะในโรงงานอุตสาหกรรมที่ภายในโรงงานประกอบด้วยเครื่องจักรกลที่เป็นแหล่งกำเนิดเสียงรบกวน เช่น เครื่องกำเนิดลม พัดลมระบายความร้อน และเครื่องปั้มน้ำขึ้นรูปโลหะ เป็นต้น ได้รับความสนใจอย่างมากในช่วง 5-10 ปีที่ผ่านมา เทคนิคการลดหรือควบคุมระดับเสียงรบกวนสามารถทำได้ 2 วิธี คือ การควบคุมแบบ Passive [1,2] และการควบคุมแบบ Active [3,4] ซึ่งการควบคุมแบบ Passive จะเป็นการนำวัสดุดูดซับเสียง (sound absorption · material) หรืออุปกรณ์กันเสียง (sound barriers) มาใช้ วิธีนี้โดยทั่วไปจะใช้ได้กับการลด

¹ งานวิจัยนี้ได้รับการสนับสนุนจากทุนวิจัยคณะกรรมการค่าสัตว์ สถาบันเทคโนโลยีพระจอมเกล้าพระนครเหนือ

² นักศึกษาบัณฑิตศึกษา ภาควิชาวิศวกรรมเครื่องกล คณะวิศวกรรมศาสตร์ สถาบันเทคโนโลยีพระจอมเกล้าพระนครเหนือ

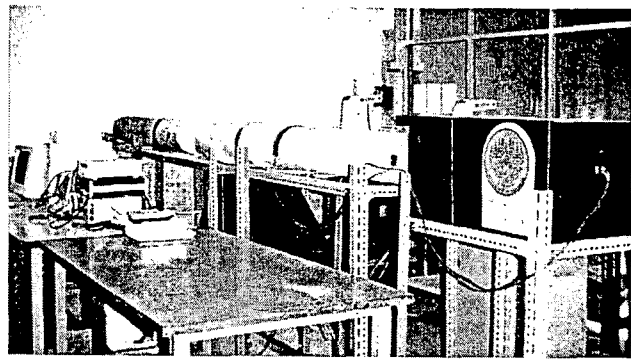
³ อาจารย์ประจำ ภาควิชาวิศวกรรมเครื่องกล คณะวิศวกรรมศาสตร์ สถาบันเทคโนโลยีพระจอมเกล้าพระนครเหนือ

ระดับเสียงรบกวนที่มีความถี่สูง ส่วนวิธีแบบ Active จะเป็นการสังเคราะห์สัญญาณเสียงขึ้นมาหักกลบกับคลื่นเสียงรบกวนที่ไม่ต้องการ ซึ่งพบว่ามีประสิทธิภาพสูงในการใช้งานสำหรับลดหรือกำจัดเสียงรบกวนที่มีความถี่ต่ำ

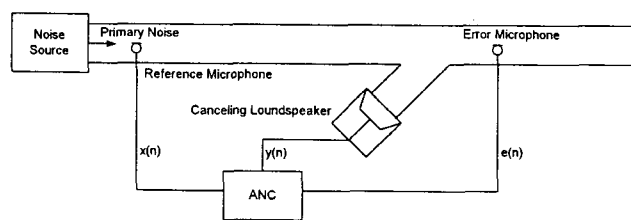
บทความนี้เสนอผลการศึกษาเชิงทดลองด้านการควบคุมระดับเสียงรบกวนแบบ Active การแพร่ของเสียงรบกวนถูกจำกัดเป็นแบบมิติเดียวภายในห้อง การคำนวณและประมวลผลทางคณิตศาสตร์ใช้ตัวประมวลผล DSP รุ่น TMS320C32 ตัวควบคุมเป็นแบบ feedforward มีโครงสร้างเป็น FIR-filter และปรับตัวเองได้ (adaptive) ซึ่งทำให้สามารถควบคุมเสียงรบกวนที่เปลี่ยนแปลงตามเวลาได้ ในที่นี้ได้ประยุกต์ใช้กับการปรับตัวเอง 2 แบบ คือ LMS และ Leaky-LMS จากการศึกษาพบว่าควบคุมสามารถลดระดับเสียงรบกวนภายในห้องได้อย่างน่าพอใจ และกับการปรับตัวเองแบบ Leaky-LMS สามารถป้องกันการเกิด overflow เนื่องจาก finite precision effect ของตัวอัลกอริทึมพิวเตอร์ได้อย่างดี ในขณะที่ส่งผลให้ระดับการลดลงของเสียงรบกวนน้อยลงกว่าแบบ LMS เพียงเล็กน้อย

2. ชุดควบคุมเสียงรบกวน

ชุดควบคุมเสียงรบกวนที่จัดสร้างขึ้นในงานวิจัยนี้ประกอบด้วย ชุดห่อปุ่นขนาดเส้นผ่านศูนย์กลาง 20 ซม. จัดประกอบขึ้นเป็นรูปสามทางมีความยาวทั้งชุดทดลองประมาณ 5 เมตร ลำโพงหนึ่งคู่พร้อมอุปกรณ์ขยายกำลัง ไมโครโฟนพร้อมอุปกรณ์ขยายสัญญาณสองชุด และคอมพิวเตอร์พร้อม DSP-board (DSP = Digital Signal Processor) ทำหน้าที่ในการคำนวณและประมวลผล รูปที่ 1 แสดงภาพถ่ายและรายละเอียดของชุดทดลองที่สร้างขึ้นในการศึกษานี้ รูปที่ 2 แสดงผลตอบสนองเชิงความถี่ของชุดทดลองที่ได้มาจากการทดสอบจริงในย่านความถี่ 20-1000 Hz ค่าสัญญาณ input และ output ของผลตอบสนองได้มาจากไมโครโฟนวัดเสียงรบกวน $x(n)$ และไมโครโฟนวัดเสียง $e(n)$ ตามลำดับ แกนตั้งของกราฟเป็นตัวแทนของอัตราขยาย สังเกตว่าค่าความถี่ที่มีค่าอัตราขยายเป็น peak ขึ้นมาก็คือตำแหน่ง poles หรือ singularities ของระบบนั้นเอง โดยทางทฤษฎีแล้วอัตราขยายที่ตำแหน่ง poles มีค่าเป็นอนันต์ การควบคุมเสียงที่มีความถี่ต่ำ poles ของระบบจะไม่สามารถกระทำได้ ในงานวิจัยนี้ช่วงความถี่ของการทำงานถูกกำหนดด้วย frequency response ของลำโพงซึ่งมีย่านความถี่ทำงาน 20 ~ 400 Hz

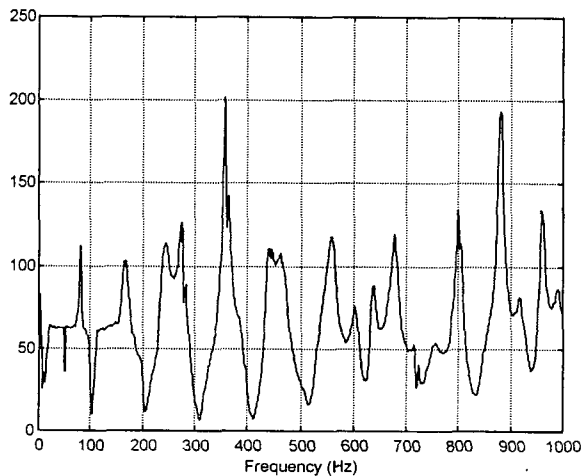


(ก)



(ข)

รูปที่ 1 ชุดทดลองที่สร้างขึ้น ก. ภาพถ่าย ข. แผนภาพ

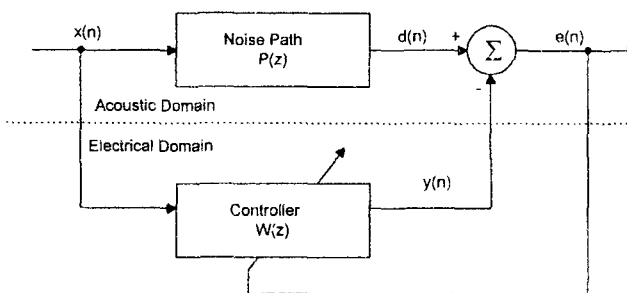


รูปที่ 2 ผลตอบสนองเชิงความถี่ของชุดห่อ

3. การควบคุมแบบ Active

การควบคุมแบบ Active มีหลักการทำงานพอสรุปโดยย่อดังนี้ จากรูปที่ 1x แหล่งกำเนิดเสียงรบกวน (ในที่นี้เป็นลำโพง) ข้ายึดมือจะทำหน้าที่สร้างคลื่นสัญญาณเสียงรบกวนให้กับระบบ ในขณะที่ลำโพงตัวด้านล่างทำหน้าที่สร้างสัญญาณเสียงควบคุม $y(n)$ เพื่อใช้หักกลบกับคลื่นเสียงรบกวน ค่าของคลื่นเสียงควบคุมนี้จะถูกกำหนดตามกฎการ

ควบคุม ซึ่งคำนวณด้วยตัวประมวลผล DSP โดยใช้ข้อมูลจากสัญญาณเสียงรบกวนอ้างอิง $x(n)$ ก่อนการลดระดับเสียงที่วัดมาจากไมโครโฟนตัวชี้มือ และสัญญาณเสียงรบกวน $e(n)$ หลังจากการหักลบเสียง ณ ตำแหน่งที่ต้องการจะลดระดับเสียง ซึ่งวัดโดยไมโครโฟนตัวชี้มือ หลักการทำงานนี้เรียกว่าการควบคุมแบบ feedforward แผนผังการทำงานนี้สรุปไว้ในรูปที่ 3 สัญญาณ $d(n)$ ในรูป คือสัญญาณเสียงรบกวน ณ ตำแหน่งที่ต้องการจะควบคุม ซึ่งคือ $x(n)$ ที่ถูกเปลี่ยนแปลงไปในขณะเคลื่อนที่ผ่านเส้นทางเดินของเสียง ซึ่งแทนด้วยฟังก์ชันถ่ายโอน $P(z)$



รูปที่ 3 แผนผังการควบคุม

โครงสร้างของตัวควบคุมที่ใช้ในงานวิจัยนี้เป็นแบบฟังก์ชัน FIR ซึ่งเป็นสมการคณิตศาสตร์ได้ดังนี้

$$y(n) = \sum_{i=0}^{L-1} w_i(n)x(n-i) \quad (1g)$$

โดยที่ n คือ บรรทัดเวลา, L คือ ค่าลำดับ (order), $w_i(n)$ คือ พารามิเตอร์ตัวที่ i ของฟังก์ชัน และ $x(n)$ และ $y(n)$ คือ input และ output ของฟังก์ชัน ตามลำดับ หรือเขียนในรูปของสมการเวกเตอร์ได้เป็น

$$y(n) = w^T(n)x(n) \quad (1h)$$

โดยที่ $w(n) = [w_0(n) \ w_1(n) \ \dots \ w_{L-1}(n)]^T$ และ $x(n) = [x(n) \ x(n-1) \ \dots \ x(n-L+1)]^T$ สังเกตว่า FIR เป็นสมการแบบเชิงเส้นที่ไม่มีโพล ดังนั้นจึงมีข้อดีในด้านของเสถียรภาพ แต่ข้อเสียหลักคือจะมีแนวโน้มของค่าลำดับ (order) ที่ค่อนข้างจะสูงเพื่อให้ได้ผลการควบ

คุมที่ดี การหาฟังก์ชันถ่ายโอน $W(z)$ หรือค่าตัวแปร $w_i(n)$ ของตัวควบคุมกระทำแบบปรับตัวเอง (adaptive) โดยใช้ค่าสัญญาณเสียงรบกวน $e(n)$ มาปรับค่าตัวแปรอย่างต่อเนื่อง เพื่อทำการลดขนาดของ $e(n)$ ให้มากที่สุด

4. ภูมิการปรับค่าแบบ LMS และ Leaky-LMS

การปรับค่าตัวแปรแบบ LMS (Least Mean Square) เป็นการใช้ steepest-descent method โดยปรับค่าตัวแปรในทิศทาง negative gradient ของ performance หรือ objective function ซึ่งจะกล่าวถึงในตอนต่อไป

จากรูปที่ 3 ค่าสัญญาณเสียงรบกวนก่อนการลดระดับเสียง ณ ตำแหน่งที่สนใจมีค่าเป็น $d(n)$ การควบคุมต้องการให้ค่า $e(n) = d(n) - y(n) = 0$ หรือมีขนาดน้อยที่สุดที่เป็นไปได้ ดังนั้น objective function ที่ต้องการ minimize กำหนดเป็น $\xi = E[e^2(n)]$ อย่างไรก็ตามในการปฏิบัติค่า ξ นี้ไม่สามารถหาได้จริง จำเป็นต้องมีการประมาณ ซึ่งเนื่องจากในที่นี้เป็นการทำงานแบบปรับค่าอย่างต่อเนื่อง ดังนั้นค่าประมาณของ ξ ที่เวลา n ที่เหมาะสม คือ $e^2(n)$ นั้นคือจะได้

$$\hat{\xi} \approx \hat{\xi}(n) = e^2(n) \quad (2)$$

และใช้หลักการของ steepest descent

$$w(n+1) = w(n) - \frac{\mu}{2} \nabla \hat{\xi}(n) \quad (3)$$

โดยที่ μ คือ ค่า step size หรือ training rate ของการปรับตัวเอง และ $\nabla \hat{\xi}(n)$ คือค่า gradient ของสมการ objective function ส่วนเลข 2 ที่หารในสมการเป็นเพียงไอล์มเข้ามาเพื่อให้ผลลัพธ์สุดท้ายอยู่ในรูปแบบที่ต้องการเท่านั้น

ดำเนินการหาค่า gradient จะได้

$$\nabla \hat{\xi}(n) = -2x(n)e(n)$$

แทนลงในสมการ (3) ข้างต้นจะได้ภูมิการปรับค่าแบบ LMS

$$w(n+1) = w(n) + \mu x(n)e(n)$$

ในการใช้งานจริง ปัญหาที่เกิดขึ้นเสมอเนื่องจากความเป็น finite precision machine ของคอมพิวเตอร์ คือ การเกิด overflow ในระหว่างการปรับตัวเมื่อระบบเข้าใกล้สภาวะคงที่ เทคนิคนี้ที่ใช้เพื่อป้องกันการเกิดปัญหานี้อย่างได้ผล คือ เทคนิค Leaky โดยการเพิ่มตัวแปร V เข้าในกฎการปรับค่า ได้เป็นกฎการปรับค่าแบบ Leaky-LMS ดังนี้

$$w(n+1) = vw(n) + \mu x(n)e(n)$$

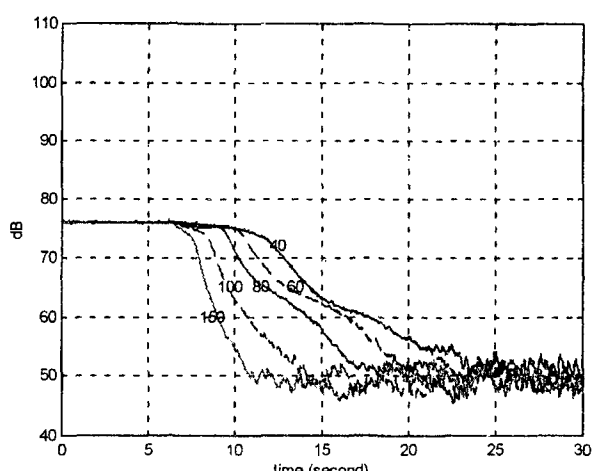
รายละเอียดของกฎการปรับค่าทั้งสองแบบดูได้จาก [3-4]

5. การควบคุม

ในงานวิจัยนี้เนื่องในของการวัดสัญญาณเพื่อการประมวลผลและควบคุมมีค่าความถูกต้องของการแปลง AD/DA และอัตราการสุ่ม (Sampling rate) เท่ากับ 16 bits และ 5512 Hz ตามลำดับ

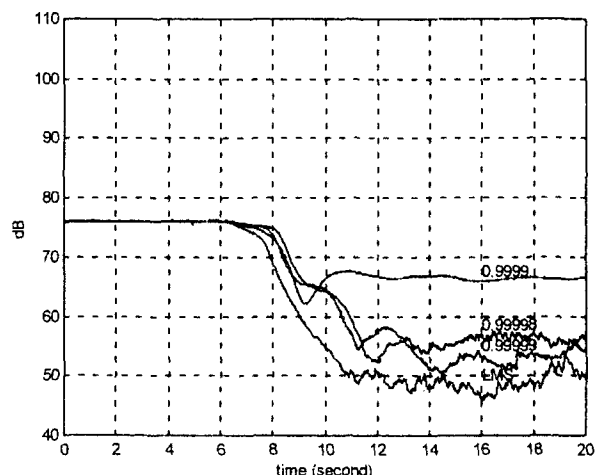
จากการศึกษาทั้งหมดพบว่าควบคุมทั้งสองแบบปรับด้วย LMS และ Leaky-LMS สามารถลดระดับเสียงรบกวนได้ทุกความถี่ ยกเว้นความถี่ที่ตรงกับค่า poles ของระบบ ย่านความถี่ที่ทำงานได้ดีอยู่ในย่านช่วงไม่เกิน 500 Hz ซึ่งถูกจำกัดหรือกำหนดไว้ด้วยคุณสมบัติของตัวสำรองเอง

รูปที่ 4 แสดงการเปรียบเทียบการลดลงของระดับเสียงรบกวนที่ค่าลำดับ L ต่างๆ ความถี่เสียงรบกวนคือ 300 Hz โดยกำหนดค่าของ step size = 0.01 จากรูปพบว่าเมื่อเพิ่มค่าลำดับสูงขึ้น การควบคุมจะสามารถลดระดับสูงได้มากขึ้น ระดับเสียงสูงสุดที่สามารถลดได้ประมาณ 28 dB



รูปที่ 4 การลดลงของระดับเสียงที่ค่า L ต่างกัน

รูปที่ 5 แสดงการเปรียบเทียบการลดลงของระดับเสียง เมื่อใช้กฎการปรับตัวแบบ LMS และ Leaky-LMS เงื่อนไขการทำงานเช่นเดิม คือ ความถี่ = 300 Hz และ Step size = 0.01 โดยใช้ค่า V = 0.99990, 0.99998 และ 0.99999 ซึ่งพบว่า Leaky-LMS สามารถป้องกันการเกิด overflow หลังจากที่ทำงานไปแล้วนานๆ ได้ผลดี และส่งผลให้ระดับเสียงที่ลดลงแตกต่างจาก LMS เพียงเล็กน้อย



รูปที่ 5 เปรียบเทียบระหว่าง LMS และ Leaky-LMS

6. สรุปและงานวิจัยในอนาคต

บทความนี้เสนอผลการศึกษาการควบคุมเพื่อลดระดับเสียงรบกวนมิติเดียวแบบแอ็ตติฟ ควบคุมเป็นแบบ adaptive FIR ทำการควบคุมป้อนไปข้างหน้า บทความนี้ได้ศึกษากฎการปรับตัวของสองแบบ คือ แบบ LMS และ Leaky-LMS จากการศึกษาพบว่าควบคุมสามารถลดระดับเสียงรบกวนได้อย่างน่าพอใจได้ทุกความถี่ในย่านความถี่ไม่เกิน 500 Hz ยกเว้นความถี่ที่ตรงกับ poles หรือ singularities ของระบบ และจากการเปรียบเทียบการทำงานของกฎการปรับตัวทั้งสองแบบ พบว่ากฎการปรับตัวของแบบ Leaky-LMS สามารถป้องกันการเกิด overflow เนื่องจากผลของ finite precision ของคอมพิวเตอร์ได้ดี โดยส่งผลให้ระดับเสียงที่ลดลงน้อยกว่าแบบ LMS ไม่มาก

งานวิจัยในอนาคตต่อไปจะเป็นการเน้นในการวิจัยการควบคุมแบบต่างๆ เช่น

- การควบคุมโดยใช้กฎการปรับตัวของอื่น เช่น FXLMS และ RLS เป็นต้น
- การควบคุมด้วย Neural Networks

- การควบคุมเสียงรบกวนมากกว่ามิติเดียว เช่น การควบคุมเสียงรบกวนในห้อง เป็นต้น
- ฯลฯ

กิตติกรรมประกาศ

งานวิจัยได้รับการสนับสนุนจากทุนวิจัยคณะวิศวกรรมศาสตร์ สถาบันเทคโนโลยีพระจอมเกล้าพระนครเหนือ คณะผู้วิจัยขอขอบคุณท่านคณบดีและกรรมการคณฑุกท่านของคณะวิศวกรรมศาสตร์ที่ให้ความสนับสนุนนี้

เอกสารอ้างอิง

- [1] B.J. Smith, R.J. Peters and S. Owen, Acoustics and Noise Control, 2nd-edition, Addison-Wesley Longman, 1982
- [2] L.L. Beranek and I.L. Ver, Noise and Vibration Control Engineering: Principles and Applications, John Wiley and Sons, 1992
- [3] S.M. Kuo and D.R. Morgan, Active Noise Control Systems algorithms and DSP Implementations, John Wiley and Sons, 1996
- [4] S.M. Kuo and I. Panahi, K.M. Chung, T. Horner, M. Nadeski and J. Chyan, Design of Active Noise Control Systems With the TMS320 Family, Texas Instruments Inc., 1996
- [5] P. Lueg, "Process of Silencing Sound Oscillations", US. Patent 2043416, June 1936
- [6] G.E. Warnaka, "Active Attenuation of Noise The State of the Art", Noise Control Eng., 18, May/June 1982
- [7] L.J. Ericksson and M.C. Allie, "A Practical System for Active Noise Attenuation in Ducts", Sound Vib., 22(2), 1988.
- [8] TMS320C3x User's Guide, Texas Instruments Inc., 1997